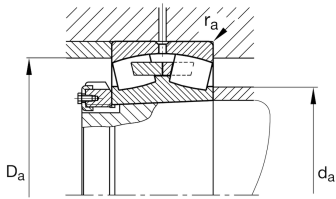
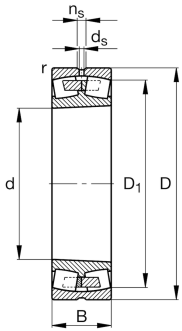
**FAG****23964-K-MB**

Rodamiento oscilante de rodillos

Rodamiento oscilante de rodillos 239..-K-MB,  
simétrico, tres bordes

## Información técnica



## Variante de su producto actual

Tipo de agujero	K	Cónico, conicidad 1:12
Jaula	MB	Jaula maciza de latón
Juego radial del rodamiento	CN (Group N)	Normal internal clearance
Función de relubricación	Norma	Estándar

## Medidas principales y datos de rendimiento

d	320 mm	Diámetro del agujero
D	440 mm	Diámetro exterior
B	90 mm	Anchura
$C_r$	1.310.000 N	Capacidad de carga dinámica, radial
$C_{0r}$	2.750.000 N	Capacidad de carga estática, radial
$C_{ur}$	206.000 N	Límite de carga por fatiga, radial
$n_G$	1.700 1/min	Velocidad límite de rotación
$n_{gr}$	930 1/min	Velocidad de referencia
$m$	39,415 kg	Peso

## Medidas de montaje

$d_{a \min}$	332,4 mm	Diámetro mínimo resalte del eje
$D_{a \max}$	427,6 mm	Diámetro máximo del resalte del alojamiento
$r_{a \max}$	2,5 mm	Radio máximo de la ranura
$d_{a \max}$	349 mm	Diámetro máximo del resalte del eje
$d_{b \min}$	332 mm	Diámetro mínimo de la cavidad del casquillo
$B_{a \min}$	12 mm	Anchura mínima de la cavidad del casquillo



### Medidas

$r_{\min}$	3 mm	Medidas mínimas del chaflán
$D_1$	406,2 mm	Diámetro del agujero del anillo exterior
$d_s$	9,5 mm	Diámetro del agujero de engrase
$n_s$	17,7 mm	Anchura de la ranura de lubricación

### Rango de temperatura

$T_{\min}$	-30 °C	Temperatura mín. de funcionamiento
$T_{\max}$	200 °C	Temperatura máx. de funcionamiento

### Factores de cálculo

$e$	0,19	Valor límite de $F_a/F_r$ para la aplicabilidad de dif. Valores de los factores X e Y
$Y_1$	3,62	Factor de carga axial dinámica
$Y_2$	5,39	Factor de carga axial dinámica
$Y_0$	3,54	Factor de carga axial estática

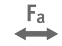
### Información adicional

H3964-HG	Manguito de fijación
AH3964G-H	Withdrawal sleeve



### Características

---

-  Carga radial
-  Carga axial en un sentido
-  Carga axial en ambos sentidos
-  Lubricación con grasa
-  Lubricación con aceite
-  No obturado
-  Gran rodamiento
-  Errores de alineación estáticos
-  Errores de alineación dinámicos